

## 収縮ひびわれを生じた床版応力の一解析について

北大 正員 能町 錠雄  
 〃 〃 田 与丈雄  
 〃 〃 塚 孝司

## 1. まえがき

鉄筋コンクリートスラブや、コンクリートの収縮によって、ある方向に厚さを貫通するひびわれが生じ、二つに分断されたとしても、鉄筋の連続性を保たれている場合、カク相互伝達は可能である。

著者らは、先に、この伝達機構を二つカ力学的モデルの採用によって解析を試みた。<sup>(1)</sup>一つは、厚さを貫通するひびわれ位置において、モーメントに対する抵抗ではなく、せん断力のみを相互伝達したい、とのせん断力に比例したためみ差が生じるような拘束条件のモデル化であり、他の一つは、ためみ差は生じないか、伝達されるモーメントに応じてためみ角差が生じるような拘束条件のモデル化であった。これらのモデルは、極端な状態を想定したものである。実際には、せん断力の伝達に応じたためみ差が生じると同時にモーメントの伝達も生じていると考えることはできる。そこで、本報告では、両者を考慮して解析を行なった。解析において次のことを仮定した。(1). 伝達せん断力(鉄筋のDowel力)とためみ差(Dowel変形)の間は線形である。(2). 伝達モーメント(鉄筋引張力)とためみ角差(鉄筋より張り出し量)との間も線形である。

この仮定の下に、ためみ差の大小を左右するパラメーター  $K_1$  とモーメントのそれのパラメーター  $K_2$  の種々の値に対する床版曲げ応力の変化状況を調べることによつて、厚さを貫通するひびわれによる荷重分配の様子を明らかにした。尚、ここで扱う版は、相対する2辺が単純支持、半無限版であり、厚さを貫通するひび割れは、支持辺に垂直に直角に生じるものとした。また、解析は、重調和微分方程式の境界値問題として、Greenの積分を媒介とした有限フーリエ変換を用いて行なった。

## 2. 有限フーリエ正弦級数

今、 $f(x)$  のフーリエ正弦級数を

$$S_m[f(x)] = \int_0^a f(x) \sin \frac{m\pi x}{a} dx$$

とおぼす

$$f(x) = \frac{2}{a} \sum_m S_m[f(x)] \sin \frac{m\pi x}{a} \quad (m=1, 2, 3, \dots, 0 < x < a) \quad (1)$$

とする簡略化ある。これは  $(a, a), (0, b)$  乃是矩形領域で積分可能な関数  $W_{xy}$  に対して次のように拡張できる。

$$S_m S_n [W_{xy}] = \iint_0^a W_{xy} \cdot \sin \frac{m\pi x}{a} \sin \frac{n\pi y}{b} dx dy$$

$(m, n = 1, 2, 3, \dots, 0 < x < a, 0 < y < b)$

この逆変換は、

$$W_{xy} = \frac{4}{ab} \sum_m \sum_n S_m S_n [W_{xy}] \sin \frac{m\pi x}{a} \sin \frac{n\pi y}{b} \quad (2)$$

(1) 能町、角田、塙、「拘束ひびわれをモデル化したスラブの曲げについて」 土木学会年次講演会概要集 30-I, 1952

(2) S. P. Timoshenko, "Theory of Plates and Shells", 2nd Edition, McGraw-Hill

### 3. 重調和微分式の Green 積分

$W$  の重調和微分式に対する Green の積分は、

$$\int_0^a \int_0^b \left\{ (\Delta^2 W) \cdot U - (\Delta^2 U) \cdot W \right\} dx dy = R(W \cdot U) \quad (3)$$

$$R(W \cdot U) = \frac{\partial^4}{\partial x^4} + 2 \frac{\partial^4}{\partial x^2 \partial y^2} + \frac{\partial^4}{\partial y^4}$$

$$\begin{aligned} R(W \cdot U) &= \int_0^b \left[ \left( \frac{\partial^3 W}{\partial x^3} + (\alpha - \nu) \frac{\partial^3 W}{\partial x \partial y^2} \right) U \right]_{x=0}^{x=a} dy - \int_0^b \left[ \left( \frac{\partial^3 W}{\partial x^3} + \nu \frac{\partial^3 W}{\partial y^3} \right) \frac{\partial U}{\partial x} \right]_{y=0}^{y=a} dy + \int_0^b \left[ \left( \frac{\partial^3 U}{\partial x^3} + \nu \frac{\partial^3 U}{\partial y^3} \right) \frac{\partial W}{\partial x} \right]_{y=0}^{y=a} dy \\ &\quad - \int_0^b \left[ \left( \frac{\partial^3 U}{\partial x^3} + (\alpha - \nu) \frac{\partial^3 U}{\partial x \partial y^2} \right) W \right]_{y=0}^{y=a} dy + \int_0^a \left[ \left( \frac{\partial^3 W}{\partial y^3} + (\alpha - \nu) \frac{\partial^3 W}{\partial x^2 \partial y} \right) U \right]_{y=0}^{y=b} dx - \int_0^a \left[ \left( \frac{\partial^3 W}{\partial y^3} + \nu \frac{\partial^3 W}{\partial x^2} \right) \frac{\partial U}{\partial y} \right]_{y=0}^{y=b} dx \\ &\quad + \int_0^a \left[ \left( \frac{\partial^3 U}{\partial y^3} + \nu \frac{\partial^3 U}{\partial x^2} \right) \frac{\partial W}{\partial y} \right]_{y=0}^{y=b} dx - \int_0^a \left[ \left( \frac{\partial^3 U}{\partial y^3} + (\alpha - \nu) \frac{\partial^3 U}{\partial x \partial y} \right) W \right]_{y=0}^{y=b} dx - 2(1-\nu) \left[ \left( \frac{\partial^2 W}{\partial x \partial y} \cdot U - \frac{\partial^2 U}{\partial x \partial y} \cdot W \right) \right]_0^a \quad (4) \end{aligned}$$

(3) 式の左辺は  $U = \sin(m\pi x/a) \cdot \sin(n\pi y/b)$ , 及び、矩形平板の基礎微分方程式  $\Delta^2 W = \frac{q}{D} f_{xy}$  ( $q$ : 荷重強度) を代入して  $S_m S_n [W]$  を求めると

$$S_m S_n [W] = \left( \frac{\alpha}{\pi} \right)^4 \frac{q}{D} \frac{S_m S_n [f_{xy}]}{(m^2 + \alpha_m^2)^2} - \left( \frac{\alpha}{\pi} \right)^4 \frac{R(W \cdot U)}{(m^2 + \alpha_m^2)^2} \quad (5)$$

ここで  $\alpha_m = \alpha N$  である。さて、今、図.1 に示すよう付境界条件の板を考案する。すなはち、 $W_{y=0} = W_{y=b} = (M_y)_{y=0} = (M_y)_{y=b} = 0$  である。 $(M_x)_{x=0} = W_{x=0} = 0$ ,  $W_{x=0} \neq 0$ ,  $(M_x)_{x=a} \neq 0$ 。  
この周辺境界条件によつて  $R(W \cdot U)$  は、 $S_m [M_{x=0}]$ ,  $S_m [W_{x=0}]$  を未知量として含み  $S_m S_n [W]$  となる。

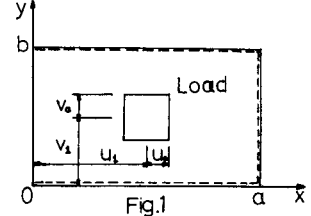


Fig.1

$$S_m S_n [W] = \left( \frac{\alpha}{\pi} \right)^4 \frac{q}{D} \frac{S_m S_n [f_{xy}]}{(m^2 + \alpha_m^2)^2} - \left( \frac{\alpha}{\pi} \right)^3 \frac{m}{(m^2 + \alpha_m^2)^2} S_m [M_{x=0}] + \frac{\alpha}{\pi} \frac{[m^3 + (\alpha - \nu) m \alpha_m^2]}{(m^2 + \alpha_m^2)^2} S_m [W_{x=0}] \quad (6)$$

となり。(2) 式の如く逆変換を行はせし、更に、 $\sum_m$ について同じ形にすると

$$\begin{aligned} W &= \frac{q \alpha^4}{D} \sum_m R_m (U_0, U_\xi, \xi) \sin \frac{m\pi \xi}{b} \sin \frac{m\pi U_0}{b} \sin m\pi \eta - b \sum_m \frac{1}{(m\pi)^3} H_{m,1-\xi} \cdot S_m [M_{x=0}] \cdot \sin m\pi \eta \\ &\quad + \frac{1}{b} \sum_m (2G_{m,1-\xi} + (1-\nu)H_{m,1-\xi}) \cdot S_m [W_{x=0}] \sin m\pi \eta \end{aligned} \quad (7)$$

$$\text{ここで}, \xi = x/a, \eta = y/b$$

$$G_{m,\xi} = \frac{ch \pi \alpha_m (1+\xi) - ch \pi \alpha_m (1-\xi)}{ch 2\pi \alpha_m - 1}, H_{m,\xi} = \frac{\pi \alpha_m [(1-\xi) sh \pi \alpha_m (1+\xi) - (1+\xi) sh \pi \alpha_m (1-\xi)]}{ch 2\pi \alpha_m - 1}$$

$$R_m (U_0, U_\xi, \xi) = \frac{q}{b} \frac{4}{\pi^2} \frac{1}{\alpha_m} \begin{cases} \begin{pmatrix} B_m^{(1)} \\ B_m^{(2)} \\ -A_m^{(1)} + \begin{pmatrix} B_m^{(3)} \\ B_m^{(4)} \\ -A_m^{(2)} \end{pmatrix} + A_m^{(3)} + \begin{pmatrix} -B_m^{(4)} \\ A_m^{(1)} \\ A_m^{(2)} \end{pmatrix} \end{pmatrix} & 0 \leq x < \beta \\ \begin{pmatrix} A_m^{(4)} \\ A_m^{(1)} \\ A_m^{(2)} \end{pmatrix} & \beta \leq x \leq \alpha \\ \begin{pmatrix} A_m^{(4)} \\ A_m^{(1)} \\ A_m^{(2)} \end{pmatrix} & \alpha < x \leq 1 \end{cases}$$

$$\alpha = (U_1 + U_0)/a, \beta = (U_1 - U_0)/a, S_{mn} = 1/m(m^2 + \alpha_m^2)^2, A_m^{(n)} = \sum_m S_{mn} \cdot \sin m\pi(\xi + \alpha)$$

$$A_m^{(2)} = \sum_m S_{mn} \cdot \sin m\pi(\xi - \alpha), A_m^{(3)} = \sum_m S_{mn} \cdot \sin m\pi(\xi + \beta), A_m^{(4)} = \sum_m S_{mn} \cdot \sin m\pi(\xi - \beta)$$

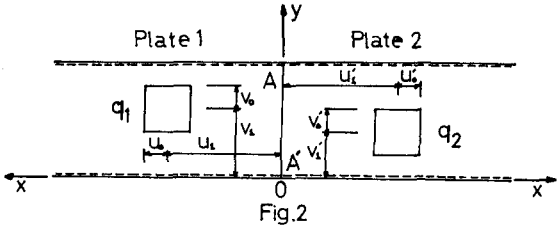
$$B_m^{(1)} = \sum_m S_{mn} \cdot \sin m\pi(\alpha - \xi), B_m^{(2)} = \sum_m S_{mn} \cdot \sin m\pi(\beta - \xi)$$

得られた(7)式において  $\alpha \rightarrow \infty$  とすれば、事によって相対する 2 边が単純支持の半無限板に拡張するとかでない。

$$W = \frac{8b^4}{D} \sum_m R_m(u_0, u_1, \xi)_{\alpha \rightarrow \infty} \cdot \sin \frac{m\pi v_0}{b} \sin \frac{m\pi v_1}{b} \sin m\pi \gamma - b \sum_m \frac{1}{(m\pi)^2} (H_{m,1-\xi})_{\alpha \rightarrow \infty} S_m[M_{x=0}] \sin m\pi \gamma \\ + \frac{1}{b} \sum_m [2G_{m,1-\xi} + (1-\nu)H_{m,1-\xi}]_{\alpha \rightarrow \infty} S_m[W_{x=0}] \sin m\pi \gamma \quad (8)$$

#### 4. 負荷ひずみの断面における境界条件

図 2 に示すように半無限板のひずみの位置 A-A' の境界条件を、反力を R、たわみ角を K で表わし Plate 1, Plate 2 に関するものとし、各々、サインクス 1, 2 を  $x \perp z$ 。



$$(1) (R_1)_{x_1=0} + (R_2)_{x_2=0} = 0 \quad (9)$$

$$(2) [(O_1)_{x_1=0} + (O_2)_{x_2=0}] \cdot K_2 = -(M_0)_{x=0} \quad (10)$$

$$(3) [(w_1)_{x_1=0} - (w_2)_{x_2=0}] \cdot K_1 = -(R_1)_{x_1=0} \quad (11)$$

とす。

(9) 式より

$$\alpha_{11} \cdot S_m[W_{x_1=0}] + \alpha_{12} \cdot S_m[W_{x_2=0}] + \alpha_{13} \cdot S'_m[M_{x=0}] = \frac{8b^5}{D} \cdot b_1$$

(10) 式より

$$\alpha_{21} \cdot S_m[W_{x_1=0}] + \alpha_{22} \cdot S_m[W_{x_2=0}] + \alpha_{23} \cdot S'_m[M_{x=0}] = \frac{8b^5}{D} \cdot b_2$$

(11) 式より

$$\alpha_{31} \cdot S_m[W_{x_1=0}] + \alpha_{32} \cdot S_m[W_{x_2=0}] + \alpha_{33} \cdot S'_m[M_{x=0}] = \frac{8b^5}{D} \cdot b_3$$

ここで

$$\alpha_{11} = \alpha_{12} = (\nu + 3)(\nu - 1)(m\pi)^3, \quad \alpha_{13} = 2(1 + \nu)(m\pi), \quad \alpha_{21} = \alpha_{22} = K_2(1 + \nu)(m\pi)$$

$$\alpha_{23} = 2(1 + K_2/m\pi), \quad \alpha_{31} = 2K_1 + (m\pi)^3(3 - 2\nu - \nu^2), \quad \alpha_{32} = -2K_1, \quad \alpha_{33} = -(m\pi)(1 + \nu)$$

$$b_1 = \frac{2}{(m\pi)^2} \left\{ [(3 - \nu) + m\pi(1 - \nu) \frac{u_1 + u_0}{b}] e^{-m\pi \frac{u_0 + u_1}{b}} + [(\nu - 3) + m\pi(\nu - 1) \frac{u_1 - u_0}{b}] e^{-m\pi \frac{u_1 - u_0}{b}} \right\} \sin \frac{m\pi v_0}{b} \sin \frac{m\pi v_1}{b}$$

$$+ \frac{2E}{(m\pi)^2} \left\{ [(3 - \nu) + m\pi(1 - \nu) \frac{u_1 + u_0}{b}] e^{-m\pi \frac{u_1 + u_0}{b}} + [(\nu - 3) + m\pi(\nu - 1) \frac{u_1 - u_0}{b}] e^{-m\pi \frac{u_1 - u_0}{b}} \right\} \sin \frac{m\pi v_1}{b} \sin \frac{m\pi v_0}{b}$$

$$b_2 = \frac{2K_2}{(m\pi)^2} \left\{ [-1 + m\pi \frac{u_1 + u_0}{b}] e^{-m\pi \frac{u_1 + u_0}{b}} + [1 + m\pi \frac{u_1 - u_0}{b}] e^{-m\pi \frac{u_1 - u_0}{b}} \right\} \sin \frac{m\pi v_0}{b} \sin \frac{m\pi v_1}{b}$$

$$+ \frac{2EK_2}{(m\pi)^2} \left\{ [-1 + m\pi \frac{u_1 + u_0}{b}] e^{-m\pi \frac{u_1 + u_0}{b}} + [1 + m\pi \frac{u_1 - u_0}{b}] e^{-m\pi \frac{u_1 - u_0}{b}} \right\} \sin \frac{m\pi v_1}{b} \sin \frac{m\pi v_0}{b}$$

$$b_3 = -\frac{2}{(m\pi)^2} \left\{ [(3 - \nu) + m\pi(1 - \nu) \frac{u_1 + u_0}{b}] e^{-\frac{u_1 + u_0}{b}} + [(\nu - 3) + m\pi(\nu - 1) \frac{u_1 - u_0}{b}] e^{-\frac{u_1 - u_0}{b}} \right\} \sin \frac{m\pi v_0}{b} \sin \frac{m\pi v_1}{b}$$

$$K_2 = bK_2'/D, \quad K_1 = b^3K_1'/D, \quad S'_m[M_{x=0}] = b^2 \cdot S_m[M_{x=0}], \quad \varepsilon = \theta_2/\theta_1$$

(12) 式をマトリックス表示すると

$$[A] \cdot [V] = \frac{8b^5}{D} [B] \quad (13)$$

これを解くと

$$[V] = \frac{8b^5}{D} [X]$$

## 5. ためか及びモーメント

(13) 式によつて得られた未知数  $S_m[W_{x_1=0}]$ ,  $S_m[W_{x_2=0}]$ ,  $S'_m[M_{x_1=0}]$  を (8) 式に代入すると

$$W_1 = \frac{q b^4}{D} \sum_m \left\{ R_m(u_0 u_1 \xi_1)_{a \rightarrow \infty} \sin \frac{m \pi v}{b} \sin \frac{m \pi v'}{b} - \frac{1}{(m\pi)} \frac{\xi_1}{b} e^{-m\pi \frac{\xi_1}{b}} \cdot X_3 + [2 + (m\pi)(1-\nu) \frac{\xi_1}{b}] e^{-m\pi \frac{\xi_1}{b}} \cdot X_1 \right\} \sin m \pi v$$

$$W_2 = \frac{q b^4}{D} \sum_m \left\{ E R_m(u_0 u_1' \xi_2)_{a \rightarrow \infty} \sin \frac{m \pi v}{b} \sin \frac{m \pi v'}{b} - \frac{1}{(m\pi)} \frac{\xi_2}{b} e^{-m\pi \frac{\xi_2}{b}} \cdot X_3 + [2 + (m\pi)(1-\nu) \frac{\xi_2}{b}] e^{-m\pi \frac{\xi_2}{b}} \cdot X_1 \right\} \sin m \pi v$$

となり、また、モーメントは、このためかを用いて

$$M_{x_1} = -q_1 b^2 \sum_m \left\{ [b^2 R_m''(u_0 u_1 \xi_1)_{a \rightarrow \infty} - \nu(m\pi)^2 R_m(u_0 u_1 \xi_1)_{a \rightarrow \infty}] \sin \frac{m \pi v}{b} \sin \frac{m \pi v'}{b} \right.$$

$$\left. - [-2 + (m\pi)(1-\nu) \frac{\xi_1}{b}] e^{-m\pi \frac{\xi_1}{b}} \cdot X_3 + (1-\nu)^2 (m\pi)^3 \frac{\xi_1}{b} e^{-m\pi \frac{\xi_1}{b}} \cdot X_1 \right\} \sin m \pi v$$

$$M_{x_2} = -q_2 b^2 \sum_m \left\{ [E(b^2 R_m''(u_0 u_1' \xi_2)_{a \rightarrow \infty} - \nu(m\pi)^2 R_m(u_0 u_1' \xi_2)_{a \rightarrow \infty}) \sin \frac{m \pi v}{b} \sin \frac{m \pi v'}{b} \right.$$

$$\left. - [-2 + (m\pi)(1-\nu) \frac{\xi_2}{b}] e^{-m\pi \frac{\xi_2}{b}} \cdot X_3 + (1-\nu)^2 (m\pi)^3 \frac{\xi_2}{b} e^{-m\pi \frac{\xi_2}{b}} \cdot X_1 \right\} \sin m \pi v$$

$$M_{y_1} = -q_1 b^2 \sum_m \left\{ [v b^2 R_m''(u_0 u_1 \xi_1)_{a \rightarrow \infty} - (m\pi)^2 R_m(u_0 u_1 \xi_1)_{a \rightarrow \infty}] \sin \frac{m \pi v}{b} \sin \frac{m \pi v'}{b} \right.$$

$$\left. - [-2\nu + (m\pi)(\nu-1) \frac{\xi_1}{b}] e^{-m\pi \frac{\xi_1}{b}} \cdot X_3 + (m\pi)^3 [2(\nu^2-1) - (\nu-1)^2 (m\pi) \frac{\xi_1}{b}] e^{-m\pi \frac{\xi_1}{b}} \cdot X_1 \right\} \sin m \pi v$$

$$M_{y_2} = -q_2 b^2 \sum_m \left\{ [E(v b^2 R_m''(u_0 u_1' \xi_2)_{a \rightarrow \infty} - (m\pi)^2 R_m(u_0 u_1' \xi_2)_{a \rightarrow \infty}) \sin \frac{m \pi v}{b} \sin \frac{m \pi v'}{b} \right.$$

$$\left. - [-2\nu + (m\pi)(\nu-1) \frac{\xi_2}{b}] e^{-m\pi \frac{\xi_2}{b}} \cdot X_3 + (m\pi)^3 [2(\nu^2-1) - (\nu-1)^2 (m\pi) \frac{\xi_2}{b}] e^{-m\pi \frac{\xi_2}{b}} \cdot X_1 \right\} \sin m \pi v$$

## 6. 数値計算例及び考察

以上、コンクリートの取扱いによつて板の厚さを考慮するひびわれを有する底板を対称とした一解析方法を示した。図3.4にて  $\nu_1 = 0.5$ ,  $U_1 = U_0 = V_0 = 0.1b$ ,  $E = 0$  の載荷部中央における  $K_1$ ,  $K_2$  の種々の値に対する引張応力を示す。  $K_1$ ,  $K_2$  の性質上、ある一定の厚さが分るよう  $K_1 \rightarrow \infty$ ,  $K_2 \rightarrow \infty$  の場合は、普通の無限板に近づく。図3.4より、厚さを考慮しないひびわれを有する底板の引張応力を知ることが可能である。

尚、計算には、北大大型計算機センター Facom 230-60/75 を使用した。

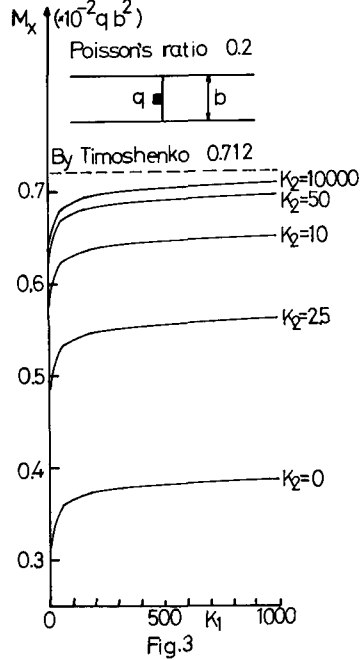


Fig.3

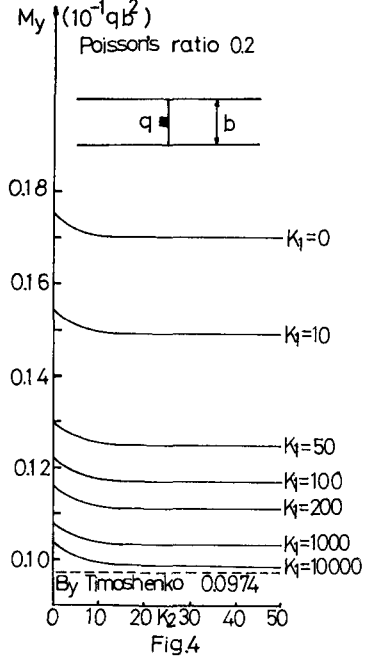


Fig.4